

УДК 539.376

УСТАНОВИВШАЯСЯ ПОЛЗУЧЕСТЬ ИЗГИБАЕМЫХ АРМИРОВАННЫХ МЕТАЛЛОКОМПОЗИТНЫХ ПЛАСТИН С УЧЕТОМ ОСЛАБЛЕННОГО СОПРОТИВЛЕНИЯ ПОПЕРЕЧНОМУ СДВИГУ

2. АНАЛИЗ РЕЗУЛЬТАТОВ РАСЧЕТОВ

А. П. Янковский

Институт теоретической и прикладной механики им. С. А. Христиановича СО РАН,
630090 Новосибирск, Россия
E-mail: lab4nemir@rambler.ru

Проведено исследование деформирования кольцевых пластин с различными структурами спирального армирования и показано, что использование классической теории для расчета установившейся ползучести относительно толстых армированных пластин при изгибе приводит к заниженным оценкам податливости тонкостенных металлокомпозитных конструкций. Также показано наличие в связующем таких пластин значительных скоростей деформаций поперечных сдвигов, учет которых обязателен и за счет которых в основном происходит накопление деформаций ползучести. Проведено сравнение результатов расчетов, полученных с использованием двух различных моделей, учитывающих структуру композита.

Ключевые слова: армированные металлокомпозиты, структурные теории, пластины, установившаяся ползучесть, теория Тимошенко.

В работе [1] с использованием второго варианта теории Тимошенко сформулирована задача о деформировании армированных металлокомпозитных пластин с учетом их ослабленного сопротивления поперечному сдвигу в условиях установившейся ползучести всех фазовых материалов. В настоящей работе обсуждаются результаты расчетов, полученные с использованием различных структурных моделей установившейся ползучести армированных металлокомпозитов в рамках классической и уточненной теорий изгиба кольцевых пластин для модельной задачи, поставленной в [1].

В качестве примера исследуем деформирование в условиях установившейся ползучести кольцевых армированных пластин двух типов с различными размерами (см. рис. 3 в [1]):

- тип I: $r_0 = 1$ м, $r_1 = 2$ м, толщина $2h$ меняется;
- тип II: $r_0 = 0,2$ м, $r_1 = 0,6$ м, $2h = 0,02$ м.

Конструкции равномерно нагружены в поперечном направлении: $p_3(x_1) = 1$ МПа ($X_1(x_1) \equiv 0$ (см. (35)–(37) в [2])); внешние кромки их свободны от нагружения, т. е. $F_{nn} = 0$, $M_{nn} = 0$, $F_{13}^0 = 0$ при $x_1^0 = r_1$ (см. (44) в [2]), внутренние — жестко закреплены, т. е. $\bar{v}_{10} = 0$, $\bar{v}_{10} = 0$, $v_{30} = 0$ при $x_1^0 = r_0$ (см. (45) в [2]).

Рассматриваются медные пластины, усиленные двумя семействами стальной проволоки У8А. Параметры, входящие в степенной закон установившейся ползучести для этих

Работа выполнена при финансовой поддержке Российского фонда фундаментальных исследований (код проекта 14-01-90400-Укр-а).

материалов, при температуре, равной приблизительно 200 °С, определяются равенствами (1) в [2] (см. также [3, 4]). Согласно модельной задаче [1] пластины полагаются осесимметрично армированными по логарифмическим спиральям:

$$\omega_1(x_1) = \omega_2(x_1), \quad \psi_1(x_1) = -\psi_2(x_1) = \psi = \text{const}, \quad r_0 \leq x_1 \leq r_1. \quad (1)$$

Для армирования используется проволока постоянного поперечного сечения [3], поэтому в осесимметричном случае при армировании по логарифмическим спиральям под любыми углами ψ (см. рис. 3 в [1]) плотности армирования ω_k изменяются по закону [5]

$$\omega_k(x_1) = r_0 \omega_{0k} / x_1 \quad (\omega_{0k} \equiv \omega_k(r_0), \quad k = 1, 2, \quad \omega_{01} = \omega_{02}), \quad (2)$$

где ω_{0k} — плотность армирования волокнами k -го семейства, заданная на внутренней кромке $x_1 = r_0$. (Из соотношений (2) следует, что при любых углах армирования ψ в (1) общий расход арматуры в пластинах фиксированных размеров будет одинаковым.) Ниже при расчетах металлокомпозитных пластин примем $\omega_{01} = \omega_{02} = 0,3$, при этом суммарная плотность армирования на внутренней кромке пластины ($\omega_{01} + \omega_{02} = 0,6$) близка к предельно допустимой, которая на практике приблизительно равна 0,7.

Рассматриваемые задачи интегрируются численно путем решения двухточечной граничной задачи (42), (44), (45) из работы [2] методом пристрелки [6], при этом на каждой $(n + 1)$ -й итерации функция $(\xi_{13}^0)^{n+1}$ заранее известна из соотношений (38), (39) в [2] (с учетом равенства (17) из [1]), так как на кромке $x_1^0 = r_1$ задано значение поперечной силы $F_{13}^0 = 0$.

В работе [7] для учета ослабленного сопротивления поперечным сдвигам тонкостенных элементов армированных конструкций в линейно-упругом случае предложено высокомолекулярные армирующие волокна считать абсолютно жесткими на сдвиг, а сдвиговые деформации в поперечном направлении тонкостенной конструкции учитывать только в связующем. Применяя это предположение при моделировании деформирования армированных металлокомпозитных пластин в условиях установившейся ползучести, компоненты матрицы эффективных вязкостей A^n в (2) из [1] можно представить в виде

$$a_{44}(x_1, x_2, x_3)^n = a_{55}(x_1, x_2, x_3)^n = (2/\omega_0)g_0(H_0^n, \Theta), \quad (3)$$

где Θ — температура композиции; H_0 — интенсивность скоростей деформаций сдвига в связующем [8]; ω_0 — объемная доля связующего в характерном элементе композиции (см. (1) в [9]); g_0 — заданная функция указанных аргументов, определяющая вязкие свойства связующего материала и представляющая собой секущий модуль (в случае степенного закона установившейся ползучести функция g_0 определяется выражением (48) из [9]). Согласно работе [7] скорости сдвиговых деформаций в поперечном направлении в связующем $\xi_{i3}^{(0)}$ и арматуре k -го семейства $\xi_{i3}^{(k)}$ вычисляются следующим образом:

$$\xi_{i3}^{(0)} = \xi_{i3} / \omega_0, \quad \xi_{i3}^{(k)} \equiv 0, \quad i = 1, 2, \quad 1 \leq k \leq K \quad (4)$$

(ξ_{i3} — скорость сдвиговых деформаций в композиции; K — количество семейств армирующих проволок).

Соотношения (3) с учетом (4) позволяют получить для коэффициентов a_{44}^n, a_{55}^n более простые выражения по сравнению со структурными формулами [9]. Используя равенства (3), (4), по формулам, полученным в [9], достаточно вычислить эффективные вязкости (1) из [1], т. е. матрицу B^n (см. (3) в [1]). Поскольку матрица B^n имеет размерность 3×3 , а матрица A^n , полученная по формулам [9], — размерность 5×5 , вычисления с использованием соотношений (3), (4) с определением (в каждой точке тела) лишь компонентов матрицы B^n существенно менее трудоемки по сравнению с вычислениями с определением всех компонентов матрицы A^n . Целесообразно выяснить, допустимо ли использование соотношений (3), (4) вместо структурных соотношений, полученных в [9].

Сравним результаты расчетов, полученные по следующим структурным моделям:

Модель 1. Компоненты матрицы A^n (см. (1), (2) в [1]) определяются по структурным соотношениям из [9].

Модель 2. Компоненты матрицы B^n (см. (3) в [1]) определяются по структурным соотношениям из [9], а вязкости (2) из [1] — по формулам (3), (4).

Модель 3. В рамках модели с одномерным напряженным состоянием в волокнах [10, 11] не учитываются напряжения в арматуре в поперечном направлении (как нормальные, так и касательные); при учете ослабленного сопротивления поперечному сдвигу используются соотношения (3), (4).

Также сравним результаты расчетов, полученные с использованием второго варианта теории Тимошенко и классической теории Кирхгофа, когда поперечные сдвиги не учитываются. Для получения решения модельной задачи в рамках классической теории в равенстве (17) из [1] достаточно принять $\bar{d}_1(x_1)^n \rightarrow \infty$, или $\xi_{13}^0(x_1)^{n+1} \equiv 0$.

Многочисленные исследования влияния учета поперечных сдвигов на податливость в тонкостенных композитных конструкциях при их линейно-упругом деформировании [7, 12–14] показывают, что это влияние существенно лишь для относительно толстых пластин при значительном различии модулей упругости связующего и арматуры (в 30 и более раз [14]). С уменьшением относительной толщины пластин и оболочек решения, полученные с использованием теорий Тимошенко и Кирхгофа — Лява, различаются в меньшей степени. Кроме того, для изотропных или армированных тонкостенных композитных конструкций с “жестким” связующим (например, металлокомпозитных) указанное различие решений незначительно, даже если эти пластины имеют относительно большую толщину.

Можно предположить, что в случае установившейся ползучести изгибаемых армированных металлокомпозитных пластин решения будут обладать аналогичными свойствами, так как в предложенных в работе [9] моделях установившейся ползучести используется метод секущего модуля, аналогичного модулю упругости.

В качестве меры податливости изгибаемых пластин в условиях установившейся ползучести примем величину

$$v_3^m = \max_{r_0 \leq x_1 \leq r_1} |v_3(x_1)|, \quad (5)$$

где v_3 — скорость прогиба ползучести. Относительную разность решений, полученных с помощью теорий Тимошенко и Кирхгофа, с использованием (5) можно оценить по формуле

$$V_3 = [(v_3^T - v_3^K) / v_3^T] \cdot 100 \%, \quad (6)$$

где v_3^T , v_3^K — значения v_3^m , рассчитанные в рамках теорий Тимошенко и Кирхгофа соответственно.

Расчеты изотропной медной пластины типа I толщиной $2h = 10$ см, выполненные по двум указанным теориям, показали, что $V_3 \approx 2 \%$. (Эпюры скоростей прогибов $v_3(x_1)$ при противоположно направленной нагрузке $p_3(x_1) = -1$ МПа показаны на рис. 3, а в [2].) Следовательно, даже для относительно толстых изотропных пластин результаты расчетов по теории Тимошенко и теории Кирхгофа достаточно близки.

Для радиально армированных ($\psi = 0$ (см. (1), (2))) пластин типа I различной толщины величина V_3 имеет следующие значения (причем всегда $v_3^K < v_3^T$):

$$V_3 = 3,4 \% \text{ при } 2h = 5 \text{ см}, \quad V_3 = 9,9 \% \text{ при } 2h = 5,5 \text{ см}, \quad V_3 = 33,6 \% \text{ при } 2h = 6 \text{ см}. \quad (7)$$

Для относительно толстых (например, $2h = 10$ см) армированных пластин величины v_3^T , v_3^K из (6) различаются уже на несколько порядков. Тогда согласно (7) при уменьшении толщины армированных пластин различие решений, полученных с использованием теорий Тимошенко и Кирхгофа, становится пренебрежимо малым. (При $2h = 5$ см эпюры скоростей прогибов $v_3(x_1)$ аналогичны показанным на рис. 3, б в [2].)

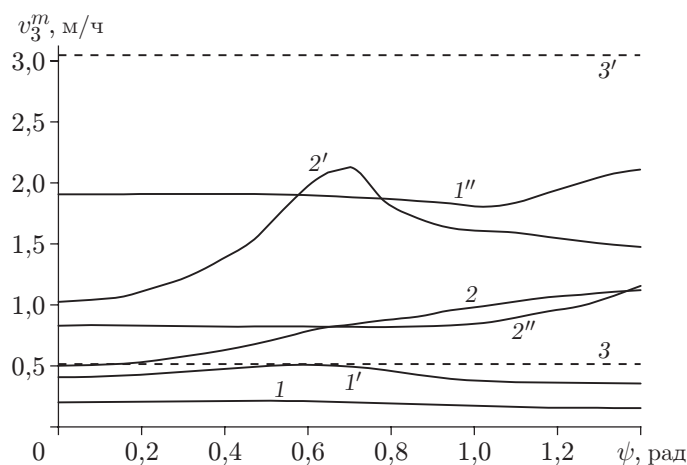


Рис. 1. Зависимость максимальной скорости прогиба ползучести от угла спирального армирования кольцевых пластин:

1–3 — пластины типа I толщиной $2h = 3,5$ см, 1'–3' — пластины типа II толщиной $2h = 2$ см, 1'', 2'' — пластины типа I толщиной $2h = 10$ см; штриховые линии — медные пластины, сплошные — металлокомпозитные; 1, 1', 1'' — расчет по структурной модели 1, 2, 2', 2'' — расчет по структурной модели 3

Проведенные расчеты свидетельствуют о достоверности модели деформирования тонкостенного элемента, развитой в [1] и учитывающей ослабленное сопротивление армированного металлокомпозита поперечным сдвигам в условиях установившейся ползучести.

Исследуем зависимость податливости армированных пластин от структуры армирования в условиях установившейся ползучести. На рис. 1 приведены зависимости v_3^m от величины угла спирального армирования ψ для пластин различных размеров (ординаты точек кривых 1'–3' и 1'', 2'' на рис. 1 увеличены в 10^2 и 10^6 раз соответственно). Штриховые линии 3, 3' на рис. 1 характеризуют податливости (5) медных изотропных пластин. Линия 3'' для относительно толстой пластины типа I на рис. 1 не показана, так как для медной пластины типа I толщиной $2h = 10$ см максимальная скорость прогиба ползучести $v_3^m = 1,97$ мм/ч, что на три порядка больше значений v_3^m , соответствующих точкам кривых 1'', 2'' на рис. 1.

В расчетах по структурной модели 2 получены зависимости, близкие к зависимостям 1, 1', 1'' на рис. 1. Следовательно, для рассматриваемого металлокомпозита Cu–У8А при заданных уровнях термосилового нагружения армированных пластин вместо модели 1 можно использовать более простые соотношения модели 2, что позволяет сократить время расчета эффективных вязкостей композиции в каждой точке тонкостенного элемента.

Кривые 1, 1' на рис. 1 расположены существенно ниже прямых 3, 3' (как отмечалось выше, значения ординат точек кривой 1'' на три порядка меньше значений ординат точек не показанной на рис. 1 прямой 3''). Следовательно, согласно моделям 1, 2 армирование медных пластин различных размеров стальной проволокой У8А позволяет в несколько раз и даже на несколько порядков уменьшить податливость таких конструкций в условиях установившейся ползучести.

Линия 2 на рис. 1 расположена выше линии 3, т. е. согласно модели 3 при определенных условиях армирование пластины может привести не к уменьшению, а к увеличению ее податливости в условиях ползучести. Аналогичные результаты в рамках модели 3 при некоторых углах армирования получены в работах [9, 11]. Это обусловлено тем, что в рамках модели 3 напряженное состояние в поперечном направлении в арматуре не учиты-

вается, т. е. моделируется неидеальный механический контакт арматуры со связующим (неполная адгезия), поэтому в некоторых ситуациях усиливающие волокна не участвуют в работе композита при его деформировании и в этих случаях большая часть нагрузки приходится на связующее, которое при этом ослаблено наличием неработающей арматуры. Этим обусловлен и тот факт, что в случае относительно тонких пластин кривые 2, 2' на рис. 1 расположены значительно выше линий 1, 1', т. е. модель 3 предсказывает существенно завышенную податливость таких металлокомпозитных пластин. В случае относительно толстых пластин модель с одномерным напряженным состоянием в волокнах, наоборот, предсказывает меньшую податливость. Действительно, кривая 2'' на рис. 1 расположена значительно ниже линии 1''. (Это также можно объяснить особенностями структурной модели 3 и деформирования относительно тонких и относительно толстых армированных пластин при заданном типе их нагружения и закрепления.)

Кривые 2, 2' на рис. 1 расположены существенно выше линий 1, 1', а кривая 2'' — существенно ниже линии 1''. Однако при определенных условиях соответствующие кривые могут быть расположены достаточно близко. Так, при $r_0 = 1000$ м, $r_1 = 1001$ м, $2h = 3,5$ см (что приближенно позволяет моделировать цилиндрический изгиб прямоугольной удлиненной пластины шириной 1 м и толщиной 3,5 см) значения v_3^m , полученные по моделям 1, 3 при $\psi = 0$, различаются лишь на 8 %, причем в силу относительно малой толщины такой пластины модель 3 вновь дает завышенное по сравнению с моделью 1 (или моделью 2) значение v_3^m .

При использовании в качестве критерия рационального армирования условия минимума податливости металлокомпозитных пластин в условиях ползучести ($\min_{\psi} v_3^m(\psi)$) в соответствии с поведением кривых 1, 1' на рис. 1 оптимальным будет армирование в окружном направлении ($\psi = \pi/2$), а в соответствии с поведением линий 2, 2' — радиальное армирование ($\psi = 0$). Следовательно, использование различных структурных моделей приводит к принципиально разным рациональным проектам армирования. Анализ поведения кривой 1'' на рис. 1 показывает, что для относительно толстых пластин оптимальной является спиральная структура армирования при $\psi \approx 1,03$ (заметим, что при $0 \leq \psi \leq 1,1$ кривая 1'' меняется незначительно), т. е. не всегда армирование по направлениям главных напряжений и скоростей деформаций ползучести (в рассматриваемых задачах эти направления на лицевых поверхностях пластины совпадают с радиальным и окружным направлениями) является наилучшим.

Расчеты, проведенные с использованием теории Кирхгофа (без учета поперечного сдвига), показали, что зависимости $v_3^m(\psi)$ для относительно тонких пластин практически совпадают с соответствующими зависимостями 1, 1' и 2, 2' на рис. 1. Это полностью согласуется с равенствами (7). Для относительно толстых пластин, рассчитанных по теории Кирхгофа, зависимости $v_3^m(\psi)$ на рис. 1 практически совпадают с зависимостями $v_3^m \equiv 0$, так как в этом случае значения $v_3^m(\psi)$, полученные с использованием классической теории, на 6–8 порядков меньше значений ординат точек кривых 1'', 2''. Следовательно, согласно теории Кирхгофа в случае относительно толстых армированных пластин из (Cu–У8А)-композита деформация ползучести практически отсутствует, а уточненная теория Тимошенко предсказывает достаточно интенсивный процесс ползучести вследствие поперечных сдвигов в связующем.

На рис. 2 показана зависимость скорости прогиба установившейся ползучести v_3 от полярного радиуса x_1 для пластин типа I: относительно тонких, толщиной $2h = 3,5$ см (рис. 2,а), и относительно толстых, толщиной $2h = 10$ см (рис. 2,б). Как отмечалось выше, в случае относительно тонких пластин (см. рис. 2,а) результаты расчетов по теории Кирхгофа близки к результатам расчетов по теории Тимошенко. В случае относительно толстых пластин (см. рис. 2,б) зависимости $v_3(x_1)$, полученные с использованием класси-

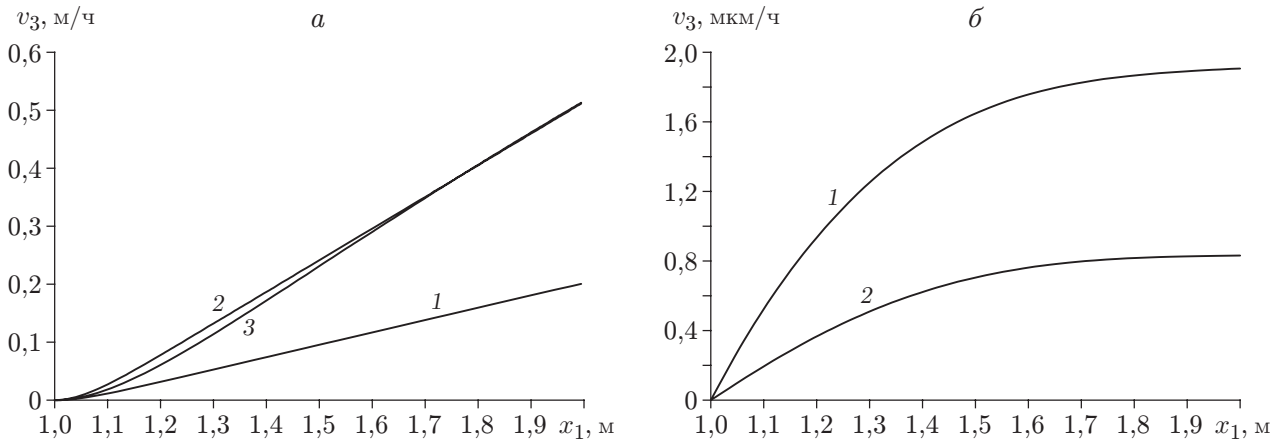


Рис. 2. Зависимость скорости прогиба ползучести от полярного радиуса для относительно тонких ($2h = 3,5$ см) (а) и толстых ($2h = 10$ см) (б) пластин типа I:
 1, 2 — металлокомпозитная пластина с радиальным армированием ($\psi = 0$ (см. (2)));
 3 — изотропная медная пластина (1 — расчет по структурной модели 1, 2 — расчет по структурной модели 3)

ческой теории, аналогичны зависимостям 1, 2 на рис. 2,а, однако при этом значения v_3 на шесть порядков меньше ординат точек кривых на рис. 2,б, т. е. указанные зависимости $v_3(x_1)$ на рис. 2,б близки к горизонтальным прямым $v_3 \equiv 0$.

Таким образом, линии 1, 2 на рис. 2 различаются знаком кривизны, причем поведение кривых на рис. 2,а свидетельствует о том, что в относительно тонких пластинах доминируют скорости изгибных (линейных) деформаций, а согласно рис. 2,б в относительно толстых пластинах преобладает деформирование за счет поперечного сдвига. Об этом свидетельствуют также зависимости $\xi_{13}^0(x_1)$, рассчитанные для случаев, показанных на рис. 2,б. Зависимости $\xi_{13}^0(x_1)$, не приведенные на рис. 2, монотонно и нелинейно убывают в направлении от внутренней кромки $x_1 = r_0$ к внешней $x_1 = r_1$, достигая на последней нулевого значения.

Поведение зависимостей $\xi_{13}^0(x_1)$, рассчитанных при $x_1 \approx r_0 = 1$ м, подтверждает, что в окрестности жестко закрепленной внутренней кромки в точках срединной плоскости пластины развиваются значительные (порядка 10^{-6} ч⁻¹) скорости деформаций поперечного сдвига. (В ряде случаев скорости деформаций установившейся ползучести такого порядка сопоставимы с предельно допустимыми значениями, установленными для изделий, эксплуатируемых в условиях длительного нагружения [15], или превышают их.)

Поскольку линии на рис. 2,а,б различаются качественно — знаком кривизны, использование модели 3 приводит к увеличению по сравнению с моделью 1 податливости (в условиях ползучести) относительно тонких пластин и, наоборот, к уменьшению податливости относительно толстых пластин. Поведение линий на рис. 2,б свидетельствует о том, что в рамках модели 3 в арматуре (в силу одномерности напряженного состояния в ней) возникают осевые напряжения, порождающие изгибающие моменты, которые вызывают большее сопротивление поперечному нагружению относительно толстых пластин, чем аналогичные моменты, определенные в рамках модели 1 с учетом пространственного напряженного состояния в арматуре. Вследствие этого кривая 2'' на рис. 1 и кривая 2 на рис. 2,б расположены ниже соответствующих кривых 1'', 1.

Из результатов расчетов, представленных на рис. 2,б, следует, что при расчетах тонкостенных металлокомпозитных элементов конструкций, работающих в условиях уста-

новившейся ползучести, необходимо учитывать ослабленное сопротивление поперечному сдвигу, так как в силу существенной нелинейности рассматриваемой задачи (см. рис. 1, *a* в [2]) не представляется возможным заранее предсказать, при каких относительных толщинах армированных пластин расчеты по теории Кирхгофа можно считать достоверными (для различных композитов и структур армирования, температур и уровней нагружения границы области применимости классической теории также будут различными).

Для определения интегралов в соотношениях (6) из работы [1] необходимо использовать формулы численного интегрирования. Расчеты показывают, что в рассматриваемых задачах можно использовать квадратурные формулы [2].

Для того чтобы получить представление о характере распределения скоростей деформаций ползучести в компонентах композитов внутри радиально армированных ($\psi = 0$ (см. (2))) пластин типа I, на рис. 3–5 приведены их поперечные сечения в радиальном направлении и изолинии, характеризующие следы поверхностей, на которых интенсивность скоростей деформаций сдвига установившейся ползучести H_k [8] имеет постоянные значения. Значения H_k ($k = 0, 1$) определялись по формуле (12.11) в работе [8] с учетом соотношений (50)–(58) из [9] и (26), (28), (29) из [2].

Поведение кривых $H_0 = \text{const}$ на рис. 3, 4 в окрестности внутренней кромки пластины ($1,0 \text{ м} \leq x_1 \leq 1,6 \text{ м}$) свидетельствует о том, что в связующем относительно толстых пластин в окрестности жестко закрепленной кромки преобладают скорости деформаций поперечного сдвига (так как указанные кривые близки к параболам). Это предположение соответствует формуле (26) из работы [2] и определяет необычное на первый взгляд поведение кривых 1, 2 на рис. 2, *б*, которое отличается от поведения аналогичных кривых на рис. 2, *а*.

Подобного поведения кривых $H_1 = \text{const}$ на рис. 3, 4 не наблюдается, т. е. в стальной арматуре относительно толстых пластин скорости деформаций поперечного сдвига не доминируют над скоростями линейных деформаций ползучести. Сравнение кривых $H_1 = \text{const}$ на рис. 3, 4 показывает, что при использовании различных структурных моделей “картины” вязкого течения в арматуре качественно различаются.

При сравнении изолиний на рис. 3 или рис. 4 видно, что в медном связующем относительно толстых пластин скорости деформаций ползучести на два порядка больше, чем в стальной арматуре. Это объясняет поведение кривых 1'', 2'' на рис. 1 при $0 \leq \psi \leq 1$, где эти линии почти горизонтальны, т. е. податливость относительно толстых пластин в условиях ползучести практически не зависит от угла армирования ψ в указанном диапазоне его значений. Действительно, такие пластины можно рассматривать как слоистые с регулярно чередующимися армированными слоями и прослойками связующего между ними. При этом плотности армирования ω_k каждого элементарного слоя одинаковы при разных ψ (см. (1), (2)) и согласно рис. 3, 4 в арматуре в отличие от связующего деформация ползучести практически отсутствует, а накопление деформаций ползучести происходит только за счет вязкого течения прослоек связующего между элементарными армированными слоями.

Поведение линий $H_k = \text{const}$ ($k = 0, 1$) на рис. 5 свидетельствует о том, что в относительно тонких ($2h = 3,5 \text{ см}$) металлокомпозитных пластинах изгибные (линейные) скорости деформаций преобладают над скоростями деформаций поперечного сдвига как в связующем, так и в арматуре. При этом в окрестности внутренней жестко закрепленной кромки в обоих фазовых материалах возникает напряженное состояние, близкое к состоянию вязкоползучего шарнира, что определяет поведение кривой 1 на рис. 2, *а*. На рис. 5 также видно, что в относительно тонких пластинах интенсивности скоростей деформаций сдвига H_0 и H_1 в связующем и арматуре имеют один и тот же порядок.

Результаты анализа изгибного деформирования армированных металлокомпозитных пластин, работающих в условиях установившейся ползучести, показали, что армирова-

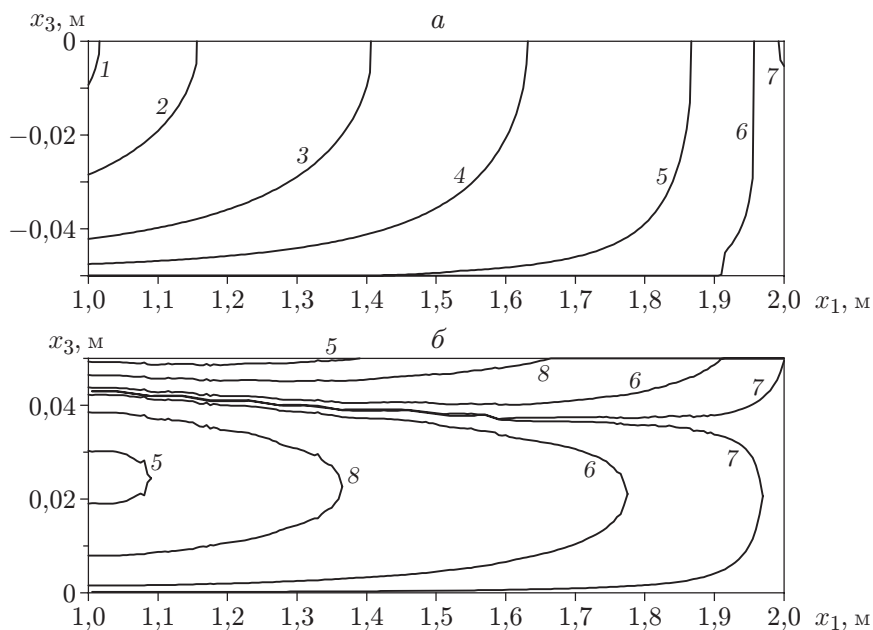


Рис. 3. Изолинии интенсивности скорости деформации установившейся ползучести в радиальном поперечном сечении металлокомпозитной пластины типа I толщиной $2h = 10$ см, рассчитанные по структурной модели 1:

a — в медном связующем, b — в стальной арматуре; 1 — $H_0 = 10^{-5} \text{ ч}^{-1}$, 2 — $H_0 = 7 \cdot 10^{-6} \text{ ч}^{-1}$, 3 — $H_0 = 3 \cdot 10^{-6} \text{ ч}^{-1}$, 4 — $H_0 = 10^{-6} \text{ ч}^{-1}$, 5 — $H_0 = H_1 = 10^{-7} \text{ ч}^{-1}$, 6 — $H_0 = H_1 = 10^{-8} \text{ ч}^{-1}$, 7 — $H_0 = H_1 = 10^{-9} \text{ ч}^{-1}$, 8 — $H_1 = 5 \cdot 10^{-8} \text{ ч}^{-1}$

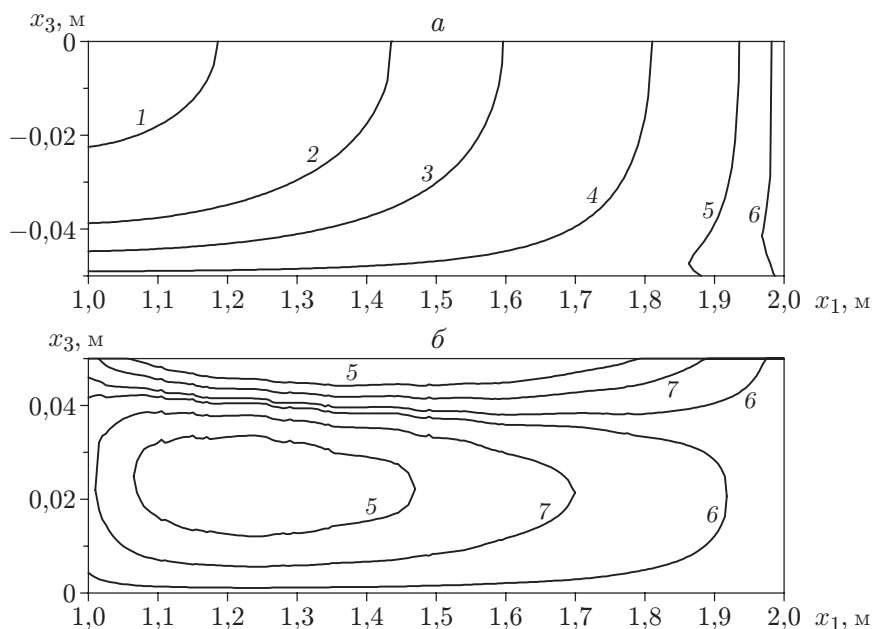


Рис. 4. Изолинии интенсивности скорости деформации установившейся ползучести в радиальном поперечном сечении металлокомпозитной пластины типа I толщиной $2h = 10$ см, рассчитанные по структурной модели 3:

a — в медном связующем, b — в стальной арматуре; 1 — $H_0 = 2 \cdot 10^{-6} \text{ ч}^{-1}$, 2 — $H_0 = 10^{-6} \text{ ч}^{-1}$, 3 — $H_0 = 5 \cdot 10^{-7} \text{ ч}^{-1}$, 4 — $H_0 = 10^{-7} \text{ ч}^{-1}$, 5 — $H_0 = H_1 = 10^{-8} \text{ ч}^{-1}$, 6 — $H_0 = H_1 = 10^{-9} \text{ ч}^{-1}$, 7 — $H_1 = 5 \cdot 10^{-9} \text{ ч}^{-1}$

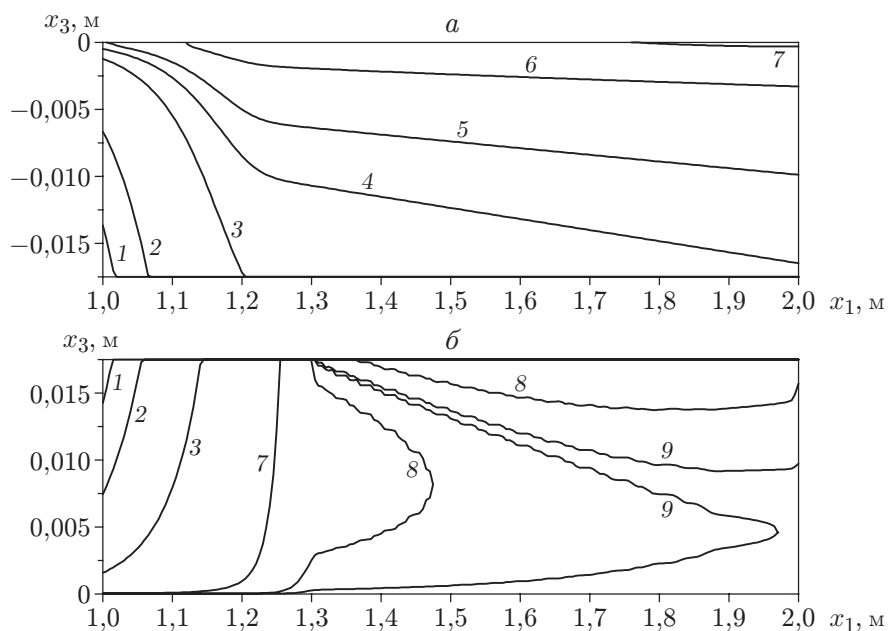


Рис. 5. Изолинии интенсивности скорости деформации установившейся ползучести в радиальном поперечном сечении металлокомпозитной пластины типа I толщиной $2h = 3,5$ см, рассчитанные по структурной модели 1:

a — в медном связующем, *б* — в стальной арматуре; 1 — $H_0 = H_1 = 10^{-1} \text{ ч}^{-1}$, 2 — $H_0 = H_1 = 5 \cdot 10^{-2} \text{ ч}^{-1}$, 3 — $H_0 = H_1 = 10^{-2} \text{ ч}^{-1}$, 4 — $H_0 = 5 \cdot 10^{-3} \text{ ч}^{-1}$, 5 — $H_0 = 3 \cdot 10^{-3} \text{ ч}^{-1}$, 6 — $H_0 = 10^{-3} \text{ ч}^{-1}$, 7 — $H_0 = H_1 = 10^{-4} \text{ ч}^{-1}$, 8 — $H_1 = 10^{-6} \text{ ч}^{-1}$, 9 — $H_1 = 10^{-7} \text{ ч}^{-1}$

ние тонкостенной конструкции позволяет существенно (в несколько раз или на несколько порядков) уменьшить по модулю скорости прогибов по сравнению с изотропными конструкциями тех же размеров, выполненных из связующего материала. Для относительно толстых армированных пластин учет их ослабленного сопротивления поперечному сдвигу при ползучести обязателен, в противном случае расчеты по классической теории Кирхгофа будут предсказывать существенно заниженную податливость металлокомпозитных тонкостенных конструкций в условиях установившейся ползучести. Использование различных структурных моделей, описывающих установившуюся ползучесть в армированных металлокомпозитных средах, приводит к принципиально разным рациональным проектам армирования пластин. Не всегда армирование по направлениям главных напряжений является наилучшим. Структурная модель с одномерным напряженным состоянием в волокнах, в рамках которой моделируется неидеальный механический контакт арматуры со связующим, в некоторых случаях предсказывает завышенную податливость армированных пластин по сравнению с изотропными конструкциями, т. е. отсутствие эффекта армирования. Структурная модель [9], использованная в настоящей работе в качестве эталонной, учитывает пространственное напряженное состояние в арматуре и моделирует идеальную адгезию между арматурой и связующим, поэтому результаты всех расчетов, проведенных по данной модели, свидетельствуют об эффективности армирования. Согласно [9] в рамках указанной модели, в отличие от модели с одномерным напряженным состоянием в волокнах, можно дополнительно моделировать неидеальный механический контакт между фазовыми материалами. В этом случае параметры, характеризующие неидеальную адгезию, можно использовать в качестве исходных параметров данной структурной модели.

ЛИТЕРАТУРА

1. **Янковский А. П.** Установившаяся ползучесть изгибаемых армированных металлокомпозитных пластин с учетом ослабленного сопротивления поперечному сдвигу. 1. Модель деформирования // ПМТФ. 2014. Т. 55, № 3. С. 154–163.
2. **Янковский А. П.** Исследование установившейся анизотропной ползучести слоистых металлокомпозитных пластин с учетом ослабленного сопротивления поперечному сдвигу. 2. Модель деформирования // Механика композит. материалов. 2012. Т. 48, № 2. С. 279–302.
3. **Композиционные материалы:** Справ. / Под ред. Д. М. Карпиноса. Киев: Наук. думка, 1985.
4. **Писаренко Г. С.** Уравнения и краевые задачи теории пластичности и ползучести: Справ. пособие / Г. С. Писаренко, Н. С. Можаровский. Киев: Наук. думка, 1981.
5. **Немировский Ю. В., Янковский А. П.** О некоторых особенностях уравнений оболочек, армированных волокнами постоянного поперечного сечения // Механика композиц. материалов и конструкций. 1997. Т. 3, № 2. С. 20–40.
6. **Холл Дж.** Современные численные методы решения обыкновенных дифференциальных уравнений / Дж. Холл, Дж. Уатт. М.: Мир, 1979.
7. **Немировский Ю. В.** Прочность элементов конструкций из композитных материалов / Ю. В. Немировский, Б. С. Резников. Новосибирск: Наука. Сиб. отд-ние, 1986.
8. **Качанов Л. М.** Теория ползучести. М.: Физматгиз, 1960.
9. **Янковский А. П.** Моделирование механического поведения перекрестно армированных металлокомпозитов в условиях установившейся ползучести // Механика композиц. материалов и конструкций. 2011. Т. 17, № 3. С. 362–384.
10. **Немировский Ю. В., Янковский А. П.** Расчет продольно-поперечного изгиба сложно армированных металлокомпозитных пластин в условиях установившейся ползучести // Конструкции из композиц. материалов. 2009. № 3. С. 5–22.
11. **Янковский А. П.** Установившаяся ползучесть слоистых металлокомпозитных оболочек со сложными структурами армирования // Механика композиц. материалов и конструкций. 2010. Т. 16, № 3. С. 400–420.
12. **Амбарцумян С. А.** Теория анизотропных пластин. Прочность, устойчивость и колебания. М.: Наука, 1987.
13. **Васильев В. В.** Механика конструкций из композитных материалов. М.: Машиностроение, 1988.
14. **Немировский Ю. В., Янковский А. П.** О границах применимости некоторых теорий расчета изгибаемых армированных пластин // Науч. вестн. Новосиб. гос. техн. ун-та. 2004. № 3. С. 91–113.
15. **Безухов Н. И.** Расчеты на прочность, устойчивость и колебания в условиях высоких температур / Н. И. Безухов, В. Л. Бажанов, И. И. Гольденблат, Н. А. Николаенко, А. М. Синюков. М.: Машиностроение, 1965.

*Поступила в редакцию 28/VI 2012 г.,
в окончательном варианте — 20/XI 2013 г.*